

УДК 539.3

## К ТЕОРИИ ДЕФОРМИРОВАНИЯ ИЗОТРОПНЫХ ГИПЕРУПРУГИХ ТЕЛ

В. Н. Солодовников

Институт гидродинамики им. М. А. Лаврентьева СО РАН, 630090 Новосибирск

Исследуется деформирование изотропных гиперупругих тел. В качестве примера применения теории приведено решение задачи о гравитационном сжатии шара.

Ключевые слова: изотропность, гиперупругость, скорости напряжений Яумана, падающие диаграммы, гравитационное сжатие.

**1. Скорости квадратов главных кратностей удлинений.** В работе [1], в отличие от [2–4], доказываем, что для изотропных гиперупругих тел плотность энергии деформации может задаваться как функция не трех, а только двух аргументов — инвариантов тензоров деформаций. В [5] при исследовании диаграмм зависимостей напряжений от деформаций используются компоненты тензоров скоростей напряжений Яумана и скоростей деформаций. Найдем связь между скоростями деформаций и скоростями квадратов главных кратностей удлинений. Декартовы и криволинейные координаты, радиус-векторы, базисные векторы и метрический тензор криволинейной системы координат в исходных положениях материальных точек в начальный момент времени  $\tau = 0$  обозначим через  $y^i$ ,  $x^i$ ,  $\mathbf{R} = y^i \mathbf{k}_i$ ,  $\mathbf{l}_i = \mathbf{R}_{,x^i} = y^n_{,x^i} \mathbf{k}_n$ ,  $g_{ij} = \mathbf{l}_i \cdot \mathbf{l}_j$ , а в текущий момент времени  $\tau$  — через  $\hat{y}^i$ ,  $\hat{x}^i$ ,  $\hat{\mathbf{R}} = \hat{y}^i \mathbf{k}_i$ ,  $\hat{\mathbf{l}}_i = \hat{\mathbf{R}}_{,\hat{x}^i} = \hat{y}^n_{,\hat{x}^i} \mathbf{k}_n$ ,  $\hat{g}_{ij} = \hat{\mathbf{l}}_i \cdot \hat{\mathbf{l}}_j$  соответственно;  $\mathbf{k}_i$  — базисные векторы декартовой системы координат;  $\mathbf{u} = \hat{\mathbf{R}} - \mathbf{R} = u^i \mathbf{l}_i = \hat{u}^i \hat{\mathbf{l}}_i$ ,  $\mathbf{v} = \dot{\mathbf{u}} = \hat{v}_i \hat{\mathbf{l}}^i$  — векторы смещений и скоростей смещений; точка обозначает дифференцирование по времени  $\tau$  (в статических задачах в качестве  $\tau$  может использоваться какой-либо другой монотонно возрастающий параметр, определяющий деформирование материала). Используем также базисные векторы сопутствующих систем координат  $\hat{\mathbf{R}}_{,x^i} = \mathbf{l}_i + u^n_{,i} \mathbf{l}_n$ ,  $\mathbf{R}_{,\hat{x}^i} = \hat{\mathbf{l}}_i - \hat{u}^n_{,i} \hat{\mathbf{l}}_n$ . Индексы  $i, j, m, n$  принимают значения 1, 2, 3; по повторяющимся индексам проводится суммирование от 1 до 3; переменные в нижнем индексе после запятой обозначают частное дифференцирование; индексы  $i$  после запятой или точки с запятой обозначают ковариантное дифференцирование по  $x^i$  и  $\hat{x}^i$  соответственно ( $\mathbf{u}_{,x^i} = u^n_{,i} \mathbf{l}_n$ ,  $\mathbf{u}_{,\hat{x}^i} = \hat{u}^n_{,i} \hat{\mathbf{l}}_n$ ).

Пусть главные оси тензора деформаций Альманси [1]  $\hat{e} = \hat{e}_{ij} \hat{\mathbf{l}}^i \hat{\mathbf{l}}^j$  в текущий момент времени  $\tau$  имеют направления базисных векторов декартовой системы координат  $\mathbf{k}_m$  и в процессе деформирования поворачиваются, оставаясь взаимно ортогональными, с угловой скоростью  $\hat{\Omega} = \hat{\Omega}^i \mathbf{k}_i$ . Через малый промежуток времени в момент  $\tau + \Delta\tau$  с точностью до  $(\Delta\tau)^2$  оси будут иметь направления

$$\hat{\mathbf{K}}_{\tau+\Delta\tau}^{(m)} = \mathbf{k}_m + \hat{\Omega} \times \mathbf{k}_m \Delta\tau = \mathbf{k}_m + (\mathbf{k}_n \hat{\Omega}^l - \mathbf{k}_l \hat{\Omega}^n) \Delta\tau$$

( $m, n, l$  — четная перестановка индексов 1, 2, 3; величины с индексом  $(m)$  соответствуют оси, имеющей в момент  $\tau$  направление  $\mathbf{k}_m$ ; малыми слагаемыми порядка  $(\Delta\tau)^2$  пренебрега-

Работа выполнена при финансовой поддержке Российского фонда фундаментальных исследований (код проекта 02-01-00195).

ются). Элементарные материальные волокна  $\mathbf{k}_i d\hat{y}^i$ , проходящие в момент  $\tau$  вдоль главных осей тензора деформаций Альманси  $\hat{e}$  (суммирование по  $i$  не проводится), в начальный момент времени занимают положения  $(\hat{\mathbf{R}} - \mathbf{u})_{,\hat{y}^i} d\hat{y}^i$ , взаимно ортогональны и проходят вдоль главных осей тензора деформаций Грина  $e = e_{ij} \mathbf{l}^i \mathbf{l}^j$ . Отношения квадратов длин этих волокон в текущем и исходном состояниях есть квадраты главных кратностей удлинений  $\varepsilon_i = |(\hat{\mathbf{R}} - \mathbf{u})_{,\hat{y}^i}|^{-2}$ . Рассмотрим волокна  $d\hat{L}_{\tau+\Delta\tau}^{(m)} \hat{\mathbf{K}}_{\tau+\Delta\tau}^{(m)} = (\hat{\mathbf{R}} + \mathbf{v}\Delta\tau)_{,\hat{x}^i} d\hat{x}^i$  длиной  $d\hat{L}_{\tau+\Delta\tau}^{(m)}$ , проходящие вдоль главных осей в момент  $\tau + \Delta\tau$ . В разложении представленных векторов по базису  $\hat{\mathbf{l}}_i$  получаем равенства

$$d\hat{x}^i(m) + (\mathbf{v}_{,\hat{x}^j} \cdot \hat{\mathbf{l}}^i) \Delta\tau d\hat{x}^j(m) = [\hat{x}_{,\hat{y}^m}^i + (\hat{x}_{,\hat{y}^n}^i \hat{\Omega}^l - \hat{x}_{,\hat{y}^l}^i \hat{\Omega}^n) \Delta\tau] d\hat{L}_{\tau+\Delta\tau}^{(m)}. \quad (1.1)$$

Отбрасывая слагаемые, содержащие  $\Delta\tau$ , определяем  $d\hat{x}^i(m) = \hat{x}_{,\hat{y}^m}^i d\hat{L}_{\tau+\Delta\tau}^{(m)}$ . Подставим эти значения в слагаемые с  $\Delta\tau$  в (1.1) и найдем величины приращений координат с точностью до  $(\Delta\tau)^2$ :

$$d\hat{x}^i(m) = \{\hat{x}_{,\hat{y}^m}^i + [\hat{x}_{,\hat{y}^n}^i \hat{\Omega}^l - \hat{x}_{,\hat{y}^l}^i \hat{\Omega}^n - (\mathbf{v}_{,\hat{y}^m} \cdot \hat{\mathbf{l}}^i)] \Delta\tau\} d\hat{L}_{\tau+\Delta\tau}^{(m)}.$$

В момент  $\tau$  рассматриваемые волокна имеют вид  $\hat{\mathbf{l}}_i d\hat{x}^i(m) = [\mathbf{k}_m + (\mathbf{k}_n \hat{\Omega}^l - \mathbf{k}_l \hat{\Omega}^n - \mathbf{v}_{,\hat{y}^m}) \Delta\tau] d\hat{L}_{\tau+\Delta\tau}^{(m)}$ , а в начальный момент  $\tau = 0$  —

$$(\hat{\mathbf{R}} - \mathbf{u})_{,\hat{x}^i} d\hat{x}^i(m) = \{(\hat{\mathbf{R}} - \mathbf{u})_{,\hat{y}^m} + [(\hat{\mathbf{R}} - \mathbf{u})_{,\hat{y}^n} \hat{\Omega}^l - (\hat{\mathbf{R}} - \mathbf{u})_{,\hat{y}^l} \hat{\Omega}^n - (\mathbf{v}_{,\hat{y}^m} \cdot \mathbf{k}_j) (\hat{\mathbf{R}} - \mathbf{u})_{,\hat{y}^j}] \Delta\tau\} d\hat{L}_{\tau+\Delta\tau}^{(m)}. \quad (1.2)$$

Отношения квадратов их длин, заданных в момент  $\tau + \Delta\tau$ , к начальным длинам  $\varepsilon_{m(\tau+\Delta\tau)} = d\hat{L}_{\tau+\Delta\tau}^{(m)2} |(\hat{\mathbf{R}} - \mathbf{u})_{,\hat{x}^i} d\hat{x}^i(m)|^{-2}$  есть значения квадратов главных кратностей удлинений в рассматриваемой материальной точке в момент  $\tau + \Delta\tau$ . С использованием декартовых компонент тензора скоростей деформаций  $\hat{\eta}_{ij} = [(\mathbf{v}_{,\hat{y}^i} \cdot \mathbf{k}_j) + (\mathbf{v}_{,\hat{y}^j} \cdot \mathbf{k}_i)]/2$  получаем выражения  $\varepsilon_{m(\tau+\Delta\tau)} = \varepsilon_m(1 + 2\hat{\eta}_{mm}\Delta\tau)$ . Скорости квадратов главных кратностей удлинений находятся предельным переходом

$$\dot{\varepsilon}_m = \lim_{\Delta\tau \rightarrow 0} \frac{1}{\Delta\tau} (\varepsilon_{m(\tau+\Delta\tau)} - \varepsilon_m) = 2\varepsilon_m \hat{\eta}_{mm}. \quad (1.3)$$

Таким образом, в декартовой системе координат с координатными линиями, направленными вдоль главных осей тензора деформаций Альманси, значения диагональных компонент тензора скоростей деформаций вычисляются по формулам [6]  $\hat{\eta}_{mm} = \dot{\varepsilon}_m / (2\varepsilon_m)$ . Величины  $\dot{\varepsilon}_m$  не зависят от скорости вращения главных осей и являются также скоростями квадратов кратностей удлинений материальных волокон, проходящих в момент  $\tau$  вдоль этих осей. Действительно, за время с момента  $\tau$  до момента  $\tau + \Delta\tau$  волокна  $\mathbf{k}_m d\hat{y}^m$  (суммирование по  $m$  не проводится) переходят в положения  $(\hat{\mathbf{R}} + \mathbf{v}\Delta\tau)_{,\hat{y}^m} d\hat{y}^m$ . Отношения квадратов длин данных волокон в моменты  $\tau + \Delta\tau$  и  $\tau$  равны отношениям их квадратов кратностей удлинений в эти моменты времени  $|(\hat{\mathbf{R}} + \mathbf{v}\Delta\tau)_{,\hat{y}^m}|^2 = \varepsilon_{m(\tau+\Delta\tau)} \varepsilon_m^{-1} = 1 + 2\hat{\eta}_{mm}\Delta\tau$ . Отсюда, устремляя  $\Delta\tau$  к нулю, найдем те же значения  $\dot{\varepsilon}_m$ , что и в (1.3). Из условия ортогональности векторов (1.2) определяем скорость вращения главных осей  $\hat{\Omega}^l = \omega^l + (\varepsilon_m + \varepsilon_n)(\varepsilon_m - \varepsilon_n)^{-1} \hat{\eta}_{mn}$  ( $\omega = \omega^i \mathbf{k}_i$  — скорость вращения окрестности материальной точки как абсолютно твердого целого;  $\omega^l = [(\mathbf{v}_{,\hat{y}^m} \cdot \mathbf{k}_n) - (\mathbf{v}_{,\hat{y}^n} \cdot \mathbf{k}_m)]/2$ ).

**2. Скорости напряжений.** Пусть главные оси тензора напряжений Коши  $\hat{\sigma} = \hat{\sigma}^{ij} \hat{\mathbf{l}}_i \hat{\mathbf{l}}_j$  в момент  $\tau$  имеют направления  $\mathbf{k}_m$  и, оставаясь взаимно ортогональными, поворачиваются с угловой скоростью  $\hat{\Omega} = \hat{\Omega}^i \mathbf{k}_i$ . Тогда в момент  $\tau + \Delta\tau$  с точностью до  $(\Delta\tau)^2$  оси

будут иметь направления  $\hat{\mathbf{N}}_{\tau+\Delta\tau}^{(m)} = \mathbf{k}_m + (\mathbf{k}_n \tilde{\Omega}^l - \mathbf{k}_l \tilde{\Omega}^n) \Delta\tau$  ( $m, n, l$  — четная перестановка индексов 1, 2, 3). Рассмотрим материальные площадки, имеющие в момент  $\tau + \Delta\tau$  нормали  $\hat{\mathbf{N}}_{\tau+\Delta\tau}^{(m)}$  и площади  $d\hat{S}_{\tau+\Delta\tau}^{(m)}$ . Полагая нормали к этим материальным площадкам в момент  $\tau$  в первом приближении равными  $\mathbf{k}_m$ , находим [5]  $d\hat{S}^{(m)} = (J^{-1}\dot{J} - \hat{\eta}_{mm})d\hat{S}^{(m)}$ ,  $\dot{\hat{\mathbf{N}}}^{(m)} = \hat{\eta}_{mm}\mathbf{k}_m - (\mathbf{v}_{,\hat{x}i} \cdot \mathbf{k}_m)\hat{\mathbf{l}}^i$ , где  $J$  — отношение объемов материальных частиц в текущем и исходном состояниях (якобиан преобразования исходных декартовых координат материальных точек в текущие);  $\dot{J} = J\hat{\eta}_i^i$ . С использованием формул  $d\hat{S}^{(m)} = d\hat{S}_{\tau+\Delta\tau}^{(m)} - \dot{d\hat{S}}^{(m)}\Delta\tau$ ,  $\hat{\mathbf{N}}^{(m)} = \hat{\mathbf{N}}_{\tau+\Delta\tau}^{(m)} - \dot{\hat{\mathbf{N}}}^{(m)}\Delta\tau$  находим площади и нормали к площадкам в момент  $\tau$  с точностью до  $(\Delta\tau)^2$ :

$$\begin{aligned} d\hat{S}^{(m)} &= [1 - (J^{-1}\dot{J} - \hat{\eta}_{mm})\Delta\tau] d\hat{S}_{\tau+\Delta\tau}^{(m)}, \\ \hat{\mathbf{N}}^{(m)} &= (1 - \hat{\eta}_{mm}\Delta\tau)\mathbf{k}_m + [\mathbf{k}_n \tilde{\Omega}^l - \mathbf{k}_l \tilde{\Omega}^n + (\mathbf{v}_{,\hat{x}i} \cdot \mathbf{k}_m)\hat{\mathbf{l}}^i]\Delta\tau. \end{aligned} \quad (2.1)$$

Площади и нормали  $dS^{(m)}$ ,  $\mathbf{N}^{(m)} = N_i^{(m)}\mathbf{l}^i$  в начальный момент  $\tau = 0$  находятся из равенства [5]  $\mathbf{N}^{(m)}J dS^{(m)} = (\hat{\mathbf{N}}^{(m)} \cdot \hat{\mathbf{R}}_{,\hat{x}i})\mathbf{l}^i d\hat{S}^{(m)}$ , где

$$N_i^{(m)} = \frac{d\hat{S}^{(m)}}{JdS^{(m)}} \{ (1 - \hat{\eta}_{mm}\Delta\tau)\hat{y}_{,\hat{x}i}^m + [\tilde{\Omega}^l \hat{y}_{,\hat{x}i}^n - \tilde{\Omega}^n \hat{y}_{,\hat{x}i}^l + (\mathbf{v}_{,\hat{x}i} \cdot \mathbf{k}_m)]\Delta\tau \}. \quad (2.2)$$

Определим усилия, действующие на единицу площади рассмотренных материальных площадок в момент  $\tau + \Delta\tau$ :

$$\hat{\mathbf{q}}_{\tau+\Delta\tau}^{(m)} = (\sigma^{ij} + \dot{\sigma}^{ij}\Delta\tau)(\hat{\mathbf{R}} + \mathbf{v}\Delta\tau)_{,\hat{x}i} N_j^{(m)} dS^{(m)} (d\hat{S}_{\tau+\Delta\tau}^{(m)})^{-1}.$$

Перейдем от второго симметричного тензора напряжений Пиола — Кирхгофа  $\sigma = \sigma^{ij}\mathbf{l}_i\mathbf{l}_j$  к тензору напряжений Коши  $\hat{\sigma}^{mn} = J^{-1}\sigma^{ij}\hat{x}_{,\hat{x}i}^m\hat{x}_{,\hat{x}j}^n$  и введем тензор  $\hat{s} = \hat{s}^{mn}\hat{\mathbf{l}}_m\hat{\mathbf{l}}_n$  ( $\hat{s}^{mn} = J^{-1}\sigma^{ij}\hat{x}_{,\hat{x}i}^m\hat{x}_{,\hat{x}j}^n$ ). Используя (2.1), (2.2) и пренебрегая малыми слагаемыми порядка  $(\Delta\tau)^2$ , получаем выражения

$$\begin{aligned} \hat{\mathbf{q}}_{\tau+\Delta\tau}^{(m)} &= \{ (1 - J^{-1}\dot{J}\Delta\tau)\hat{y}_{,\hat{x}i}^m + [\tilde{\Omega}^l \hat{y}_{,\hat{x}i}^n - \tilde{\Omega}^n \hat{y}_{,\hat{x}i}^l + (\mathbf{v}_{,\hat{x}i} \cdot \mathbf{k}_m)]\Delta\tau \} \hat{\sigma}^{ij} \hat{\mathbf{l}}_j + \\ &+ (\hat{\sigma}^{ij}\mathbf{v}_{,\hat{x}i} + \hat{s}^{ij}\hat{\mathbf{l}}_i)\hat{y}_{,\hat{x}j}^m \Delta\tau \end{aligned}$$

( $m, n, l$  — четная перестановка индексов 1, 2, 3). В декартовой системе координат с координатными линиями, направленными вдоль главных осей тензора  $\hat{\sigma}$ , выражения принимают вид

$$\begin{aligned} \hat{\mathbf{q}}_{\tau+\Delta\tau}^{(m)} &= (1 - J^{-1}\dot{J}\Delta\tau)\hat{\sigma}_m\mathbf{k}_m + [\tilde{\Omega}^l \hat{\sigma}_n\mathbf{k}_n - \tilde{\Omega}^n \hat{\sigma}_l\mathbf{k}_l + (\mathbf{v}_{,\hat{y}i} \cdot \mathbf{k}_m)\hat{\sigma}_i\mathbf{k}_i + \\ &+ \hat{\sigma}_m\mathbf{v}_{,\hat{y}m} + \hat{s}^{mi}\mathbf{k}_i]\Delta\tau, \end{aligned} \quad (2.3)$$

где  $\hat{s} = \hat{s}^{ij}\mathbf{k}_i\mathbf{k}_j$ .

Проекции векторов (2.3) на нормали и касательные к площадкам, на которых они определяются,  $Q_{\tau+\Delta\tau}^{ij} = \hat{\mathbf{q}}_{\tau+\Delta\tau}^{(i)} \cdot \hat{\mathbf{N}}_{\tau+\Delta\tau}^{(j)}$  есть действующие на этих площадках напряжения, удовлетворяющие условиям  $Q_{\tau+\Delta\tau}^{ij} = Q_{\tau+\Delta\tau}^{ji}$ . Нормальные напряжения принимают значения главных компонент напряжений в момент  $\tau + \Delta\tau$ :  $Q_{\tau+\Delta\tau}^{ii} = \hat{\sigma}_i(\tau+\Delta\tau) = \hat{\sigma}_i + \hat{\Sigma}^{ii}\Delta\tau$  (суммирование по  $i$  не проводится). Из условия равенства нулю касательных напряжений  $Q_{\tau+\Delta\tau}^{mn} = [\hat{\Sigma}^{mn} + (\hat{\sigma}_n - \hat{\sigma}_m)(\tilde{\Omega}^l - \omega^l)]\Delta\tau = 0$  ( $m, n, l$  — четная перестановка индексов 1, 2, 3) находится скорость вращения главных осей  $\tilde{\Omega}^l = \omega^l + (\hat{\sigma}_m - \hat{\sigma}_n)^{-1}\hat{\Sigma}^{mn}$ . Здесь

$\hat{\Sigma}^{ii} = \hat{s}^{ii} + \hat{\sigma}_i(2\hat{\eta}_{ii} - J^{-1}J)$ ,  $\hat{\Sigma}^{mn} = \hat{s}^{mn} + (\hat{\sigma}_m + \hat{\sigma}_n)\hat{\eta}_{mn}$  — компоненты тензора скоростей напряжений Яумана [7]  $\hat{\Sigma} = \hat{\Sigma}^{ij}\mathbf{k}_i\mathbf{k}_j$  в декартовой системе координат с координатными линиями, направленными вдоль главных осей  $\hat{\sigma}$ . Диагональные компоненты  $\hat{\Sigma}^{ii}$  принимают значения скоростей главных компонент напряжений:

$$\hat{\Sigma}^{ii} = \dot{\hat{\sigma}}_i = \lim_{\Delta\tau \rightarrow 0} \frac{1}{\Delta\tau} (\hat{\sigma}_{i(\tau+\Delta\tau)} - \hat{\sigma}_i). \quad (2.4)$$

В изотропном гиперупругом теле главные компоненты напряжений определяются из уравнений [5]

$$\hat{\sigma}_i = \hat{\mu} \varepsilon_i (\varepsilon_i - \hat{\chi}) + p, \quad (2.5)$$

где  $\hat{\mu} = \beta I_1^{-2} J^{-1}$ ;  $\beta = \Psi_{,\Upsilon}$ ;  $p = \Psi_{,J} = (\hat{\sigma}_m + \hat{\sigma}_n + \hat{\sigma}_l)/3$  — гидростатическое давление;  $\Psi = \Psi(\Upsilon, J)$  — плотность энергии деформации;  $\hat{\chi} = 2I_1(\Upsilon + 1/3)$ ;

$$J = (\varepsilon_m \varepsilon_n \varepsilon_l)^{1/2}, \quad \Upsilon = \frac{\varepsilon_m^2 + \varepsilon_n^2 + \varepsilon_l^2}{(\varepsilon_m + \varepsilon_n + \varepsilon_l)^2} - \frac{1}{3}, \quad I_1 = \frac{1}{2} (\varepsilon_m + \varepsilon_n + \varepsilon_l)$$

( $m, n, l$  — четная перестановка индексов 1, 2, 3). Из приведенных выше формул для компонент тензора скоростей напряжений Яумана в случае изотропных гиперупругих тел получим следующие выражения:

$$\begin{aligned} \hat{\Sigma}^{ii} = [(\dot{J}\beta_{,J} + \dot{\Upsilon}\beta_{,\Upsilon})\beta^{-1} - 2I_1^{-1}\dot{I}_1 - J^{-1}\dot{J} + 2\hat{\eta}_{ii}] (\dot{\hat{\sigma}}_i - p) + \\ + \hat{\mu}\varepsilon_i(2\varepsilon_i\hat{\eta}_{ii} - \dot{\hat{\chi}}) + \dot{J}p_{,J} + \dot{\Upsilon}p_{,\Upsilon}. \end{aligned} \quad (2.6)$$

Подставив в (2.6)  $\hat{\eta}_{ii} = \dot{\varepsilon}_i/(2\varepsilon_i)$ , придем к значениям  $\hat{\Sigma}^{ii} = \dot{\hat{\sigma}}_i$ , получаемым также дифференцированием  $\hat{\sigma}_i$  в (2.5) по  $\tau$ . Используемые в [5] для главных осей условия убывания диаграмм зависимости напряжений от деформаций  $\hat{\Sigma}^{ii}\hat{\eta}_{ii} < 0$  (суммирование по  $i$  не проводится) представимы теперь в виде [8–12]  $\dot{\hat{\sigma}}_i\dot{\varepsilon}_i < 0$ . В соответствии с этим диаграмма зависимости  $\hat{\sigma}_i$  от  $\varepsilon_i$  считается падающей, если удлинение проходящего вдоль рассматриваемой главной оси волокна сопровождается уменьшением действующего в нем напряжения, а укорочение волокна — возрастанием напряжения. Отметим, что матрица коэффициентов при  $\dot{\varepsilon}_i$  в (2.6) не является симметричной, в отличие от симметричной матрицы в уравнениях для скоростей главных компонент тензора напряжений Пиола — Кирхгофа  $\sigma$ :  $\sigma_i = 2\Psi_{,\varepsilon_i} = J\varepsilon_i^{-1}\hat{\sigma}_i$ ,  $\dot{\sigma}_i = 2\Psi_{,\varepsilon_i\varepsilon_m}\dot{\varepsilon}_m$ .

Внедиагональные компоненты тензоров скоростей напряжений Яумана и скоростей деформаций  $\hat{\Sigma}^{mn}$ ,  $\hat{\eta}_{mn}$ , умноженные на  $\Delta\tau$ , представляют собой приращения сдвигающих напряжений и сдвиговых деформаций на материальных площадках, на которых в момент  $\tau$  действуют главные компоненты напряжений, а касательные напряжения и сдвиговые деформации равны нулю. Поэтому получаемые приращения являются также напряжениями и деформациями в момент времени  $\tau + \Delta\tau$ . В изотропных гиперупругих телах они связаны равенствами

$$\hat{\Sigma}^{mn} = B_l \hat{\eta}_{mn}, \quad B_l = \frac{\hat{\mu}(\varepsilon_m + \varepsilon_n)}{\varepsilon_m + \varepsilon_n + \varepsilon_l} [2\varepsilon_m\varepsilon_n + (\varepsilon_m + \varepsilon_n)\varepsilon_l - \varepsilon_l^2]$$

( $m, n, l$  — четная перестановка индексов 1, 2, 3).

В исходном недеформированном состоянии материала  $B_l = 2\mu_0 > 0$ ,  $\mu_0$  — модуль сдвига. Для того чтобы вызываемые скоростями  $\hat{\Sigma}^{mn}$ ,  $\hat{\eta}_{mn}$  сдвигающие напряжения и сдвиговые деформации имели одинаковое направление, требуется положительность коэффициентов  $B_l$ . Из условий  $B_l > 0$ ,  $\beta > 0$  следуют неравенства [5]

$$\varepsilon_l < (\varepsilon_m + \varepsilon_n)/2 + [(\varepsilon_m + \varepsilon_n)^2/4 + 2\varepsilon_m\varepsilon_n]^{1/2}, \quad (2.7)$$

не зависящие от вида функции  $\Psi(\Upsilon, J)$ . Согласно (2.7) для главных компонент напряжений должны выполняться неравенства  $\hat{\sigma}_m < \hat{\sigma}_n < \hat{\sigma}_l$ , если  $\varepsilon_m < \varepsilon_n < \varepsilon_l$ . Отметим, что найденные скорости вращения главных осей тензоров  $\hat{\sigma}$ ,  $\hat{\varepsilon}$  вследствие (2.5) и выражений для  $\hat{\Sigma}^{mn}$  совпадают:  $\hat{\Omega} = \tilde{\Omega}$ .

**3. Геометрия области, определяемой неравенствами (2.7).**

В трехмерном пространстве с декартовыми координатами  $\varepsilon_i \geq 0$  неравенствами (2.7) определяется конус с вершиной в начале координат  $\varepsilon_i = 0$ . Найдем сечение этого конуса девиаторной плоскостью  $\varepsilon_m + \varepsilon_n + \varepsilon_l = 3a$  ( $m, n, l$  — четная перестановка индексов 1, 2, 3), отстоящей от начала координат на расстоянии  $a\sqrt{3}$ . Точки девиаторной плоскости, координаты которых удовлетворяют неравенству  $\varepsilon_i \geq 0$ , находятся внутри равностороннего треугольника (рис. 1) с вершинами на осях координат и сторонами длиной  $3a\sqrt{2}$ , лежащими в координатных плоскостях. Ниже эти стороны называются линиями  $\varepsilon_i = 0$ .

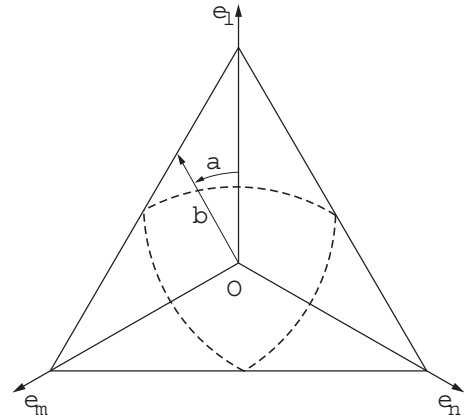


Рис. 1

Введем полярную систему координат  $(b, \alpha)$  с началом в центре треугольника ( $b$  — радиус;  $\alpha$  — полярный угол). В этой системе координат  $\varepsilon_l = a(1 + v \cos \alpha)$ ,  $\varepsilon_m = a[1 - v \cos(\alpha + \pi/3)]$ ,  $\varepsilon_n = a[1 - v \cos(\alpha - \pi/3)]$ , где  $0 \leq v = (b/a)\sqrt{2/3} \leq 2$ ;  $0 \leq \Upsilon = v^2/6 \leq 2/3$ ;  $b = [(\varepsilon_m - a)^2 + (\varepsilon_n - a)^2 + (\varepsilon_l - a)^2]^{1/2}$ ; при  $1 < v \leq 2$  углы изменяются в интервалах  $-\pi + \alpha_* \leq \alpha \leq -\pi/3 - \alpha_*$ ,  $-\pi/3 + \alpha_* \leq \alpha \leq \pi/3 - \alpha_*$ ,  $\pi/3 + \alpha_* \leq \alpha \leq \pi - \alpha_*$  ( $\alpha_* = \arccos(1/v)$ ). С использованием данных выражений равенство в (2.7)  $\varepsilon_l = (\varepsilon_m + \varepsilon_n)/2 + [(\varepsilon_m + \varepsilon_n)^2/4 + 2\varepsilon_m\varepsilon_n]^{1/2}$  преобразуется к виду  $\cos \alpha = 1/v - v/2$  и задает в декартовых координатах  $X = b \cos \alpha$ ,  $Y = b \sin \alpha$  дугу окружности  $(X + a\sqrt{3/2})^2 + Y^2 = 9a^2/2$ , соединяющей средние точки линий  $\varepsilon_m = 0$ ,  $\varepsilon_n = 0$ , центр которой ( $X = -a\sqrt{3/2}$ ,  $Y = 0$ ) находится в средней точке линии  $\varepsilon_l = 0$ . Таким образом, в девиаторной плоскости неравенствами (2.7) определяется криволинейный треугольник со сторонами, являющимися дугами окружностей (рис. 1). Для выполнения неравенств  $B_l > 0$  значения квадратов главных кратностей удлинений  $\varepsilon_i$  должны находиться в области внутри конической поверхности с образующими, пересекающими девиаторные плоскости по сторонам криволинейных треугольников.

**4. Гравитационное сжатие шара.** Определим сферически-симметричные состояния равновесия шара. Обозначим через  $r$ ,  $\hat{r}$  исходные и текущие радиальные координаты материальных точек ( $\hat{r} = \hat{r}(r)$ ,  $0 \leq r \leq R$ );  $\varepsilon_1 = (\hat{r},_r)^2$ ,  $\varepsilon_2 = (\hat{r}/r)^2$  — квадраты главных кратностей удлинений;  $\hat{\sigma}_1$ ,  $\hat{\sigma}_2$  — радиальное и окружные напряжения;  $J = \varepsilon_2\varepsilon_1^{1/2}$ ; выполняются неравенства  $\hat{r} \geq 0$ ,  $\hat{r},_r > 0$ . Плотность материала шара изменяется от начального постоянного значения  $\rho$  до значения  $\hat{\rho} = \rho J^{-1}$  в сжатом состоянии. Имеем уравнение равновесия

$$(\hat{r}^2 \hat{\sigma}_1),_r - \hat{\sigma}_2(\hat{r}^2),_r + q r^2 = 0. \tag{4.1}$$

В каждой материальной точке действие гравитационных сил со стороны всего шара сводится к силе притяжения  $q = -G\rho M\hat{r}^{-2}$ , определяемой на единицу исходного объема материала и направленной к центру шара ( $G$  — гравитационная постоянная;  $M = (4/3)\pi r^3 \rho$ ). На поверхности  $r = R$  задается нулевое напряжение  $\hat{\sigma}_1 = 0$ ; в центре шара  $\varepsilon_1 = \varepsilon_2$  при  $r = 0$ .

Материал шара будем считать изотропным гиперупругим с определяющей функцией [5]  $\Psi = \beta\Upsilon + 0,5KJ^{-1}(J - 1)^2$ , непрерывно переходящей при стремлении деформаций

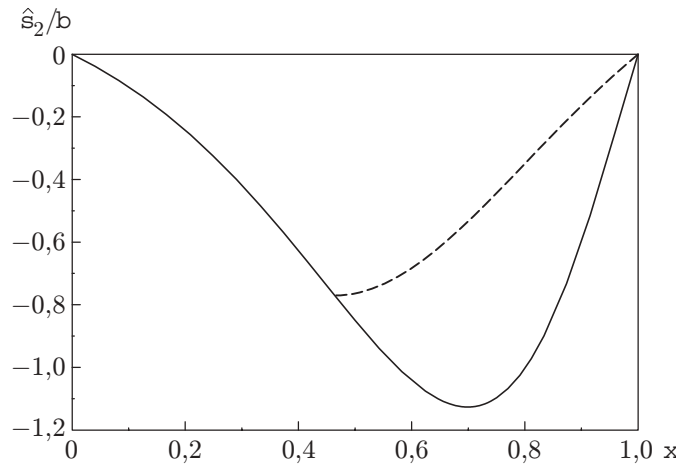


Рис. 2

к нулю в определяющую функцию закона Гука, с теми же двумя константами материала, что и в законе Гука:  $\beta = 9\mu_0/4$ ,  $\mu_0 = E_0/(2(1 + \nu))$ ,  $K = E_0/(3(1 - 2\nu))$  ( $E_0$ ,  $\nu$  — модуль Юнга и коэффициент Пуассона). При  $\hat{\sigma}_2 = \hat{\sigma}_3$ ,  $\varepsilon_2 = \varepsilon_3$  из (2.5) находим

$$\hat{\sigma}_1 = \frac{8\beta\varepsilon_1^{1/2}(\varepsilon_1 - \varepsilon_2)}{(\varepsilon_1 + 2\varepsilon_2)^3} + p, \quad \hat{\sigma}_2 = \frac{1}{2}(3p - \hat{\sigma}_1), \quad p = \frac{K}{2}\left(1 - \frac{1}{J^2}\right). \quad (4.2)$$

Согласно (4.2) на поверхности шара реализуются состояния, описываемые функциями  $\gamma = 16\xi(\xi^2 - 1)/(3 - \xi)^3$ ,  $J = \gamma/c + [(\gamma/c)^2 + 1]^{1/2}$ ,  $c = K/\beta = 8(1 + \nu)/(27(1 - 2\nu))$ ,  $\varepsilon_1 = J^{2/3}((1 + \xi)/(1 - \xi))^{2/3}$ ,  $\varepsilon_2 = J^{2/3}((1 - \xi)/(1 + \xi))^{1/3}$ ,  $p = \beta\gamma/J$ ,  $\hat{\sigma}_1 = 0$ ,  $\hat{\sigma}_2 = 3p/2$ , зависящими от параметра  $0 \leq \xi = (\varepsilon_1 - \varepsilon_2)/(\varepsilon_1 + \varepsilon_2) \leq 1$  (в [5]  $\xi$  имеет противоположный знак). Напряжение  $\hat{\sigma}_2$  по абсолютной величине возрастает и достигает максимума (порядка величины модуля сдвига  $\mu_0$ ) при  $\xi = \xi_* = (2\sqrt{7} + 1)/9$ , после чего  $\hat{\sigma}_2 \rightarrow 0$ ,  $J \rightarrow 1$  при  $\xi \rightarrow 1$  (сплошная кривая на рис. 2). (Кривые на рис. 2, 3 получены при  $\nu = 0,3$ .) При  $\xi > \xi_*$  выполняется условие убывания зависимости напряжения от деформации  $\hat{\sigma}_{2,\xi} \varepsilon_{2,\xi} < 0$ .

В момент  $\xi = \xi_{**} = 2\sqrt{3} - 3 < \xi_*$  от данного решения при  $\varepsilon_2 = \varepsilon_3$  ответвляются решения уравнений (2.5) с несимметричным относительно радиального луча деформированием, в которых  $\hat{\sigma}_1 = 0$ ,  $\hat{\sigma}_2 = \hat{\sigma}_3 = 3\beta\gamma_1/(2J)$ ,  $B_1 = 0$ ,  $\gamma_1 = -4\zeta/(3 + \sqrt{1 + \zeta})^2$ ,  $J = \gamma_1/c + [(\gamma_1/c)^2 + 1]^{1/2}$ ,  $\varepsilon_1 = \zeta_1(1 + \sqrt{1 + \zeta})$ ,  $\varepsilon_2 = \zeta_1(1 - \sqrt{1 - \zeta/2})$ ,  $\varepsilon_3 = \zeta_1(1 + \sqrt{1 - \zeta/2})$ ,  $\zeta_1 = (\varepsilon_2 + \varepsilon_3)/2 = (2J^2/(\zeta(1 + \sqrt{1 + \zeta})))^{1/3}$ , значение  $\zeta$  уменьшается от 2 до 0. Несимметричное деформирование происходит при уменьшающемся напряжении  $\hat{\sigma}_2$ , причем меньшем, чем в решении с  $\varepsilon_2 = \varepsilon_3$  (штриховая кривая на рис. 2). Ниже для сферически-симметричных состояний равновесия шара задаются значения параметра  $\xi < \xi_{**}$ . Величины  $\xi_*$ ,  $\xi_{**}$  не зависят от констант материала.

Подставим  $q = -(4/3)\pi G\rho^2 r\varepsilon_2^{-1}$  и выражения для  $\hat{\sigma}_1$ ,  $\hat{\sigma}_2$  из (4.2) в (4.1). Используя уравнение  $\varepsilon_{2,r} = (2/r)(\sqrt{\varepsilon_1\varepsilon_2} - \varepsilon_2)$ , в безразмерных переменных получим систему дифференциальных уравнений первого порядка

$$\varepsilon_{1,r'} + \frac{1}{f_1}\left(\frac{f_2}{r'} - \frac{Ar'}{\varepsilon_2}\right) = 0, \quad \varepsilon_{2,r'} = \frac{1}{r'}f_3 \quad (4.3)$$

относительно двух искоемых функций  $\varepsilon_1$ ,  $\varepsilon_2$ , где

$$f_1 = \frac{4\varepsilon_2(11\varepsilon_1\varepsilon_2 - 3\varepsilon_1^2 - 2\varepsilon_2^2)}{\sqrt{\varepsilon_1}(\varepsilon_1 + 2\varepsilon_2)^4} + \frac{c}{2\varepsilon_1^2\varepsilon_2}, \quad f_3 = 2(\sqrt{\varepsilon_1\varepsilon_2} - \varepsilon_2),$$

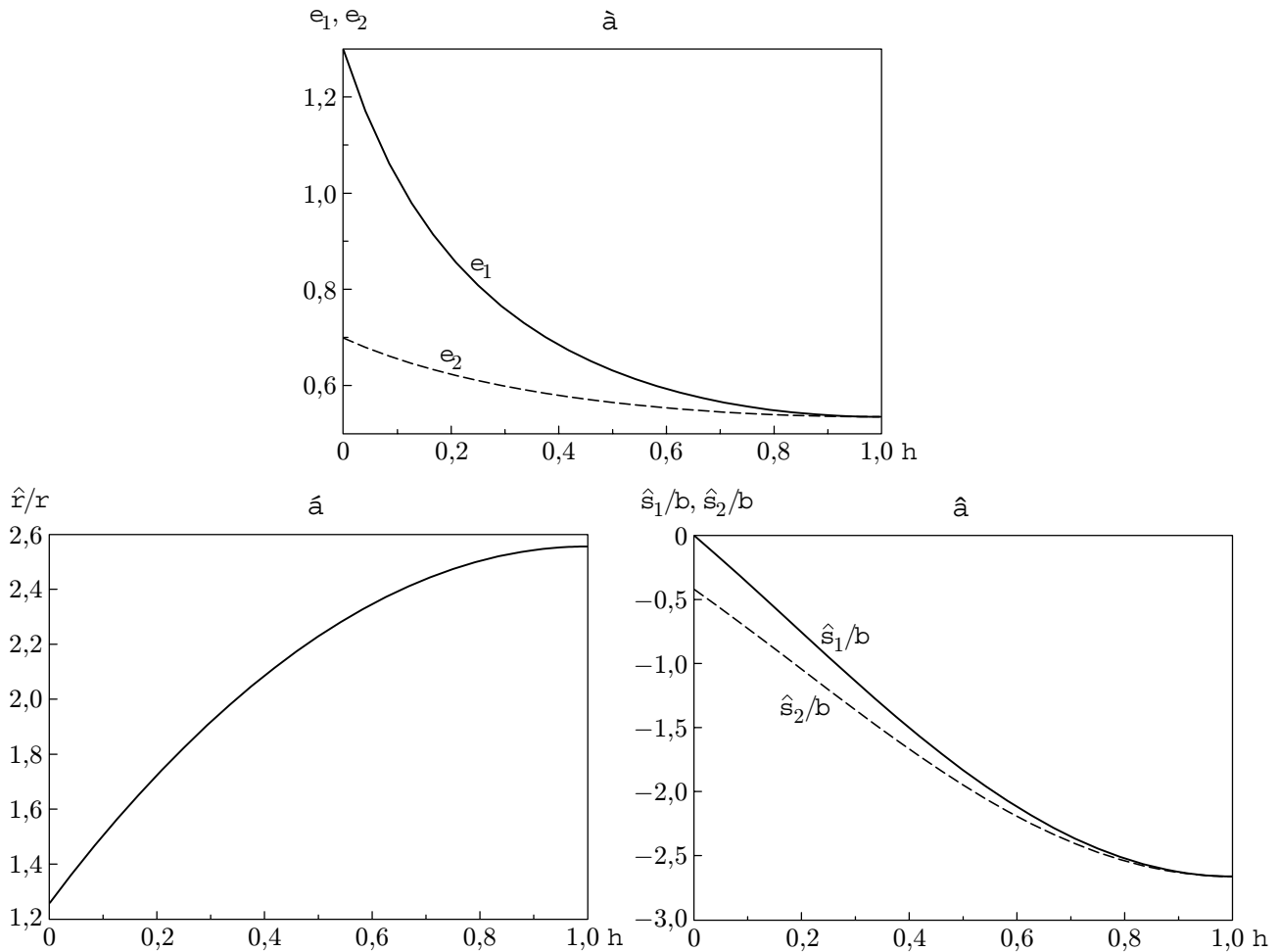


Рис. 3

$$f_2 = \left( \frac{8\sqrt{\varepsilon_1\varepsilon_2}(4\varepsilon_2 - 7\varepsilon_1)}{(\varepsilon_1 + 2\varepsilon_2)^4} + \frac{c}{\varepsilon_1\varepsilon_2^2} \right) f_3 + \frac{24\varepsilon_1\sqrt{\varepsilon_2}(\varepsilon_1 - \varepsilon_2)}{(\varepsilon_1 + 2\varepsilon_2)^3},$$

с константами  $c = 8(1 + \nu)/(27(1 - 2\nu))$ ,  $A = 4G\pi\rho^2R^2/(3\beta)$  при  $0 \leq r' = r/R \leq 1$ . Решение системы (4.3), удовлетворяющее сформулированным выше краевым условиям, вычисляется методом Рунге — Кутты как решение задачи с начальными условиями, задаваемыми при  $r' = 1$ . Для исключения неопределенности в центре шара вычисления ведутся только на отрезке от  $r' = 1$  до  $r' = r'_\delta = 0,0001$ . Задается значение  $\xi$  и по приведенным выше формулам вычисляются значения  $\varepsilon_1, \varepsilon_2$  на поверхности шара. Решая систему (4.3) с заданными начальными условиями от  $r' = 1$  до  $r'_\delta$ , итерациями находим значение  $A$ , обеспечивающее вычисление решения до точки  $r'_\delta$ , в которой с достаточной точностью выполняется равенство  $\varepsilon_1 = \varepsilon_2$ . Следует отметить, что значение  $A$  необходимо определять с высокой точностью (10–12 цифр после запятой в представлении значения  $A$  для выполнения равенства  $\varepsilon_1 = \varepsilon_2$  в точке  $r'_\delta$  с точностью до  $10^{-7}$ ). В результате находится решение со значением  $A$ , при котором реализуется заданное значение  $\xi$ .

На рис. 3, а–в представлены зависимости квадратов главных кратностей удлинений  $\varepsilon_1, \varepsilon_2$ , отношение плотностей  $\hat{\rho}/\rho$ , напряжения  $\hat{\sigma}_1/\beta, \hat{\sigma}_2/\beta$  в зависимости от  $h = 1 - r'$  при  $\nu = 0,3; \xi = 0,3; A = 2,292\,137\,324\,8$  (последние несколько цифр в значении  $A$  могут изменяться, если в (4.3) в качестве независимой взять другую переменную, например  $r'^2$  вместо  $r'$ ).

Следует отметить, что линеаризация (4.1), (4.2) с использованием равенств  $\varepsilon_1 = 1 + 2e_1$ ,  $\varepsilon_2 = 1 + 2e_2$  при условии малости деформаций  $e_1$ ,  $e_2$ , смещений  $u = \hat{r} - r$  и их производных  $u_{,r}$  приводит к уравнениям, формулируемым в линейной теории упругости:

$$\sigma_{1,r} + \frac{2}{r}(\sigma_1 - \sigma_2) - A \frac{\beta r}{R^2} = 0, \quad e_1 = u_{,r}, \quad e_2 = \frac{u}{r},$$

$$\sigma_1 = \frac{8\beta}{9(1-2\nu)} [(1-\nu)e_1 + 2\nu e_2], \quad \sigma_2 = \frac{8\beta}{9(1-2\nu)} (e_2 + \nu e_1).$$

Из решения этих уравнений с краевыми условиями  $\sigma_1 = 0$  на поверхности и  $u = 0$  в центре шара находятся напряжения

$$\sigma_1 = \frac{(3-\nu)\beta A}{10(1-\nu)} \left( \frac{r^2}{R^2} - 1 \right), \quad \sigma_2 = \frac{\beta A}{10(1-\nu)} \left[ (1+3\nu) \frac{r^2}{R^2} - (3-\nu) \right],$$

меньшие, чем в нелинейной теории, что объясняется неучетом изменений площадей материальных площадок и расстояний между материальными точками при сжатии шара. Так, при  $\nu = 0,3$ ;  $A \approx 2,29$  в центре шара получается значение давления  $\sigma_1/\beta = \sigma_2/\beta \approx -0,88$ , почти в три раза меньшее, чем на рис. 3,в.

#### ЛИТЕРАТУРА

1. **Солодовников В. Н.** Определяющие уравнения изотропного гиперупругого тела // ПМТФ. 2000. Т. 41, № 6. С. 178–183.
2. **Прагер В.** Введение в механику сплошных сред. М.: Изд-во иностр. лит., 1963.
3. **Черных К. Ф.** Нелинейная теория упругости в машиностроительных расчетах. Л.: Машиностроение. Ленингр. отд-ние, 1986.
4. **Годунов С. К.** Элементы механики сплошной среды. М.: Наука, 1978.
5. **Солодовников В. Н.** Устойчивость деформирования изотропных гиперупругих тел // ПМТФ. 2001. Т. 42, № 6. С. 142–151.
6. **Лурье А. И.** Нелинейная теория упругости. М.: Наука, 1980.
7. **Коробейников С. Н.** Нелинейное деформирование твердых тел. Новосибирск: Изд-во СО РАН, 2000.
8. **Хилл Р.** Некоторые вопросы поведения изотропных упругих тел при наложении малой деформации на конечную // Проблемы механики деформированного твердого тела: К 60-летию акад. В. В. Новожилова. Л.: Судостроение, 1970. С. 459–466.
9. **Черных К. Ф.** Введение в анизотропную упругость. М.: Наука, 1988.
10. **Трусдел К.** Первоначальный курс рациональной механики сплошной среды. М.: Мир, 1975.
11. **Hill R.** On constitutive inequalities for simple materials. 1 // J. Mech. Phys. Solids. 1968. V. 16, N 4. P. 130–135.
12. **Черных К. Ф.** Определяющие неравенства упругих тел // Механика сплошных сред и родственные проблемы анализа: К 80-летию акад. Н. И. Мусхелишвили. М.: Наука, 1972. С. 623–633.

*Поступила в редакцию 10/VI 2002 г.,  
в окончательном варианте — 21/IV 2003 г.*